

柳叶五层龙中的 1 个新的木栓烷型三萜

张广求, 尤慧梅, 赵佳文, 赵志恒, 王 韦, 张丽珠, 蒋云涛, 何永辉*, 江志勇*

民族药资源化学国家民委-教育部重点实验室, 云南民族大学民族医药学院, 云南 昆明 650504

摘要: 目的 对柳叶五层龙 *Salacia cochinchinensis* 的化学成分进行研究。方法 利用硅胶柱色谱、MCI、Sephadex LH-20 柱色谱和半制备型高效液相色谱等手段进行分离纯化, 根据理化性质和波谱数据对化合物进行结构鉴定。结果 从柳叶五层龙 90%乙醇提取物的石油醚萃取部分中分离得到 8 个化合物, 分别鉴定为 28-羟基大籽五层龙酸 (1)、pachysandiol A (2)、pristimeronol (3)、28-hydroxy-friedelan-3-one-29-oic acid (4)、山柰酚-3-O- α -L-鼠李糖苷 (5)、6,7-dimethoxy-4-hydroxyl-1-naphthoic acid (6)、蚱蜢酮 (7)、3,4,5-三甲氧基苯甲酸甲酯 (8)。结论 木栓烷型三萜为该属植物的主要成分之一, 其中化合物 1 为新木栓烷型三萜, 化合物 2~8 为首次从五层龙属植物中分离得到, 所有化合物均为首次从该种植物中分离得到。

关键词: 柳叶五层龙; 木栓烷型三萜; 28-羟基大籽五层龙酸; 山柰酚-3-O- α -L-鼠李糖苷; 蚱蜢酮

中图分类号: R284.1 文献标志码: A 文章编号: 0253-2670(2019)18-4266-06

DOI: 10.7501/j.issn.0253-2670.2019.18.002

A new friedelane-type triterpene from *Salacia cochinchinensis*

ZHANG Guang-qiu, YOU Hui-mei, ZHAO Jia-wen, ZHAO Zhi-heng, WANG Wei, ZHANG Li-zhu, JIANG Yun-tao, HE Yong-hui, JIANG Zhi-yong

State Key Laboratory of Education Ministry-State Minority Committee of National Medicine Resource Chemistry, Yunnan Minzu University, Kunming 650504, China

Abstract: Objective To study the chemical constituents of *Salacia cochinchinensis*. **Methods** The isolates were obtained by silica gel, Sephadex LH-20, MCI column chromatography, as well as prep-HPLC methods. Their structures were identified on the basis of NMR, MS analyses. **Results** Eight compounds were isolated from 90% ethanol extract of *S. cochinchinensis*. The structures were identified as 28-hydroxyl salaspermic acid (1), pachysandiol A (2), pristimeronol (3), 28-hydroxy-friedelan-3-one-29-oic acid (4), kaempferol-3-O- α -L-rhamnoside (5), 6,7-dimethoxy-4-hydroxyl-1-naphthoic acid (6), grasshopper ketone (7), 3,4,5-trimethoxybenzoic acid methyl ester (8). **Conclusion** Compound 1 is a new friedelane-type triterpenoid. Compounds 2—8 were isolated from the *Salacia* genus for the first time.

Key words: *Salacia cochinchinensis* Lour.; friedelane-type triterpenoid; 28-hydroxyl salaspermic acid; kaempferol-3-O- α -L-rhamnoside; grasshopper ketone

柳叶五层龙 *Salacia cochinchinensis* Lour. 为灌木, 高达 2 m, 主要产于我国云南西双版纳, 越南、柬埔寨也有分布^[1]。关于该属植物的前期研究报道显示, 其主要化学成分为三萜, 包括木栓烷型三萜^[2-18]、降碳酮甲基型五环三萜^[3]、羽扇豆烷型五环三萜^[7]、齐墩果烷型五环三萜^[16]等, 此外, 还有报道其中含有倍半萜^[19]、黄酮^[20]以及锍盐^[21]等类型的化合物。前期关于该属植物的生物活性研究显示, 其中的部

分化合物有细胞保护作用^[13]及 α -葡萄糖苷酶抑制^[10,18]等活性。迄今为止未见国内外学者关于柳叶五层龙的化学成分报道。本课题组在前期研究过程中发现产自西双版纳的柳叶五层龙枝叶的 90%乙醇提取物具有较好的 α -葡萄糖苷酶抑制作用, 并已从其 90%乙醇提取物的正丁醇部位中分离得到了 3 个新的酚苷类成分^[22]。为了进一步从中寻找更为高效低毒的活性成分, 本实验进一步对柳叶五层龙枝

收稿日期: 2019-05-10

基金项目: 国家自然科学基金资助项目 (81560708); 云南省中青年学术技术带头人后备人才 (2015HB050)

作者简介: 张广求 (1979—), 男, 吉林通化人, 讲师, 主要从事中药及天然药物活性成分研究。

*通信作者 何永辉, 男, 副教授, 主要从事天然药物研究。Tel: (0871)65916940

江志勇, 男, 教授, 主要从事民族药及天然药的活性成分及新药研发工作。Tel: (0871)65916940 E-mail: jiangzy2010@163.com

叶的 90% 乙醇提取物石油醚部位开展了化学成分研究, 从中分离得到了 8 个化合物(图 1), 分别鉴定为 28-羟基大籽五层龙酸(28-hydroxyl salaspermic acid, **1**)、pachysandiol A(**2**)、pristimeronol(**3**)、28-hydroxy-friedelan-3-one-29-oic acid(**4**)、山柰酚-3-O- α -L-鼠李糖昔(kaempferol-3-O- α -L-rhamnoside, **5**)、6,7-dimethoxy-4-hydroxyl-1-naphthoic acid(**6**)、

蚱蜢酮(grasshopper ketone, **7**)、3,4,5-三甲氧基苯甲酸甲酯(3,4,5-trimethoxyl benzoic acid methyl ester, **8**)。其中化合物**1**为新的木栓烷型三萜, 化合物**2~8**为首次从五层龙属植物中分离得到。

1 仪器与材料

Agilent 6030 Q-TOF 型质谱仪(美国 Agilent 公司); Bruker AM-400 型核磁共振仪(瑞士 Bruker

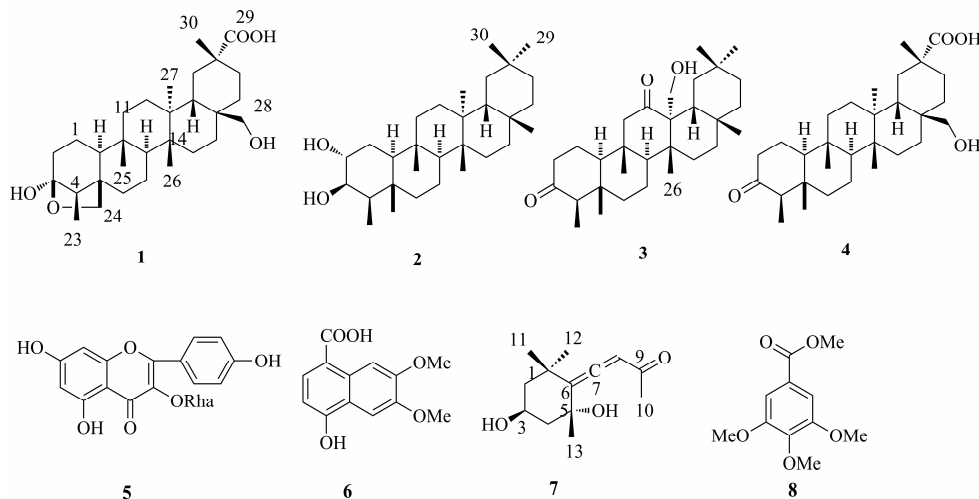


图 1 化合物 1~8 的结构

Fig. 1 Structures of compounds 1—8

公司); 柱色谱硅胶(200~300 目)、薄层色谱硅胶 GF₂₅₄(青岛美高化工有限公司); MCI(日本三菱化工); Sephadex LH-20(Pharmacia 公司); Agilent 1260 半制备液相色谱仪(多波长紫外检测器)、Agilent 1260 型半制备高效液相色谱仪(HPLC), 美国安捷伦科技公司; Shimadza shim-pack GIS 色谱柱(日本岛津公司); C₁₈柱色谱硅胶、高效液相色谱仪使用色谱纯甲醇(德国默克公司); 娃哈哈纯净水; 其余试剂为工业纯二次重蒸试剂。

样品柳叶五层龙茎叶部分于 2013 年 9 月采自云南西双版纳, 经中国科学院西双版纳热带植物园周仕顺博士鉴定为柳叶五层龙 *Salacia cochinchinensis* Lour.。标本(YMUMY-2013071)保存于云南民族大学民族药资源化学国家民委-教育部重点实验室。

2 提取与分离

干燥柳叶五层龙的茎叶(10.0 kg)粉碎后, 用 8 倍质量的 90% 乙醇-水(90:10)回流提取 3 次, 每次 2 h, 合并提取液浓缩得浸膏 1.78 kg。将浸膏混悬于适量的水中, 依次用石油醚、醋酸乙酯、正丁醇萃取, 得到石油醚浸膏 200 g、醋酸乙酯浸膏 230 g 及正丁醇浸膏 250 g 和水相浸膏 180 g。石油

醚萃取部分浸膏 200.0 g 用约 300 g 的 100~200 目硅胶拌样, 室温阴干后用 1.5 kg 的 200~300 目硅胶进行柱色谱分离, 石油醚-丙酮(20:1、10:1、8:2、7:3、6:4)梯度洗脱, 经 TLC 检测合并相同组分, 得到 5 个组分 Fr. 1~5。

取 Fr. 3 部分的样品(12.4 g), 以 MCI 柱色谱脱色, 甲醇-水(60:40→100:0)梯度洗脱, 得到 4 个流分(Fr. 3.1~3.4), 其中 Fr. 3.3(甲醇-水 90:10 洗脱部分, 2.8 g)经硅胶柱色谱, 并进一步经 Sephadex LH-20 和半制备 HPLC 反复分离纯化得化合物**6**(4.5 mg)、**3**(21 mg)、**7**(12 mg)和**8**(12 mg)。Fr. 3.4 部分经硅胶柱色谱, 再用 MCI 脱色, 进一步经 C₁₈柱色谱纯化后得化合物**1**(11 mg)、**2**(14 mg)和**4**(18 mg)。Fr. 3.1 部分经硅胶柱色谱分离后再进一步采用 HPLC 纯化得到化合物**5**(21 mg)。

3 结构鉴定

化合物**1**:白色无定形粉末, $[\alpha]_{D}^{23.3} +8.2^{\circ}$ (*c* 0.3, MeOH/CHCl₃)。HR-ESI-MS 在 *m/z* 489.357 1 [M+H]⁺(计算值 489.358 0, C₃₀H₄₉O₅⁺)给出准分子离子峰, 分子式为 C₃₀H₄₈O₅, 不饱和度为 7。其红外光谱中在 3 348、1 701 处给出强的吸收峰, 提示分

子中存在羟基和羧基等官能团。其 $^1\text{H-NMR}$ (400 MHz, $\text{C}_5\text{D}_5\text{N}$) 中观察到 5 个甲基质子信号 (表 1)，其中在 δ_{H} 1.40 (6H, s, $2 \times \text{Me}$), 1.01 (3H, s), 0.92 (3H, s) 处为 4 个单峰甲基质子信号， δ_{H} 1.20 (3H, d, $J = 7.0$ Hz) 给出 1 个双重峰质子信号。 $^{13}\text{C-NMR}$ (100 MHz, $\text{C}_5\text{D}_5\text{N}$) 给出 30 个碳原子信号，包括 8 个季碳、4 个 CH、13 个 CH_2 、5 个 CH_3 。其中 δ_{C} 181.8 处为 1 个羧基碳原子信号，106.4 处为 1 个与 2 个氧相连的季碳原子信号，此外还在 δ_{C} 69.8、73.4 处观察到 2 个连氧的亚甲基碳原子信号。分析化合物 1 的波谱数据显示其为木栓烷型三萜，该类成分为五层龙属植物中的特征性成分。化合物 1 与文献报道

的大籽五层龙酸^[23-24]相比较，发现两者除了 C-16、17、18、22、28 的数据有些较大变化外，其余部分数据极为相近，推测化合物 1 与大籽五层龙酸含有相同的基本结构。不同之处在于化合物 1 较大籽五层龙酸多出 1 个与氧相连的 CH_2 ，同时少了 1 个甲基。根据上述 2 个化合物的不同之处，推测化合物 1 为大籽五层龙酸的 28 位羟基衍生物。为了进一步准确鉴定化合物 1 的结构，测定了化合物 1 的 2D NMR 相关图谱。在 HMBC 中 (图 2)，清楚地观察到 H-28 (δ_{H} 3.87, 3.91) 与 C-16 (δ_{C} 31.8), C-18 (δ_{C} 40.6), C-22 (δ_{C} 32.5) 相关，从而推测化合物 1 中多出的羟基确实与 C-28 相连。其他 HMBC 和 $^1\text{H-H}$

表 1 化合物 1 的 ^1H - 和 $^{13}\text{C-NMR}$ (400/100 MHz, $\text{C}_5\text{D}_5\text{N}$) 数据
Table 1 ^1H - and $^{13}\text{C-NMR}$ (400/100 MHz, $\text{C}_5\text{D}_5\text{N}$) data of compound 1

| 碳位 | 1 | |
|----|------------------------|--|
| | δ_{C} | δ_{H} |
| 1 | 20.9 (CH_2) | 1.52~1.54 (1H, m), 1.81~1.84 (1H, m) |
| 2 | 39.5 (CH_2) | 1.89~1.98 (1H, m), 2.20 (1H, dd, $J = 5.2, 11.6$ Hz) |
| 3 | 106.4 (C) | — |
| 4 | 54.3 (CH) | 1.50 (1H, d, $J = 6.8$ Hz) |
| 5 | 47.5 (C) | — |
| 6 | 34.4 (CH_2) | 1.35~1.38 (1H, overlapped), 1.66~1.67 (1H, m) |
| 7 | 20.0 (CH_2) | 1.35~1.38 (1H, overlapped), 0.96~1.00 (1H, m) |
| 8 | 50.5 (CH) | 1.26~1.30 (1H, m) |
| 9 | 38.1 (C) | — |
| 10 | 57.7 (CH) | 1.13~1.16 (1H, m) |
| 11 | 35.2 (CH_2) | 1.22~1.26 (1H, m), 1.32~1.35 (1H, overlapped) |
| 12 | 29.8 (CH_2) | 1.72~1.78 (2H, m) |
| 13 | 39.8 (C) | — |
| 14 | 39.6 (C) | — |
| 15 | 29.6 (CH_2) | 1.26~1.30 (1H, overlapped), 1.40 (1H, overlapped) |
| 16 | 31.8 (CH_2) | 1.51~1.54 (1H, m), 2.40~2.50 (1H, m) |
| 17 | 35.8 (C) | — |
| 18 | 40.6 (CH) | 1.85~1.87 (1H, m) |
| 19 | 30.6 (CH_2) | 1.63 (1H, m), 1.73 (1H, m) |
| 20 | 41.1 (C) | — |
| 21 | 31.4 (CH_2) | 1.68~1.74 (1H, m), 2.81 (1H, brd, $J = 15.3$ Hz) |
| 22 | 32.5 (CH_2) | 1.76~1.80 (1H, overlapped), 2.42~2.44 (1H, m) |
| 23 | 8.9 (CH_3) | 1.20 (3H, d, $J = 7.0$ Hz) |
| 24 | 73.4 (CH_2) | 3.71 (1H, d, $J = 8.0$ Hz), 4.24 (1H, d, $J = 8.0$ Hz) |
| 25 | 17.3 (CH_3) | 0.92 (3H, s) |
| 26 | 16.3 (CH_3) | 1.01 (3H, s) |
| 27 | 19.0 (CH_3) | 1.40 (3H, s) |
| 28 | 69.8 (CH_2) | 3.87 (1H, d, $J = 10.5$ Hz), 3.91 (1H, d, $J = 10.6$ Hz) |
| 29 | 181.8 (C) | — |
| 30 | 33.2 (CH_3) | 1.40 (3H, s) |

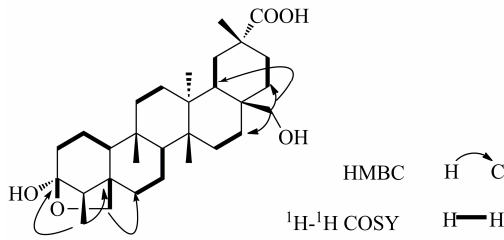


图 2 化合物 1 的关键 HMBC 和 COSY 相关

Fig. 2 Key HMBC and COSY correlations of compound 1

COSY 相关(图 2)进一步证实了对化合物 1 的结构推测。综合上述分析,将化合物 1 的结构鉴定为 28-羟基大籽五层龙酸。

化合物 2: 白色无定形粉末。ESI-MS m/z : 467 [M+Na]⁺。¹H-NMR (400 MHz, C₅D₅N) δ : 4.14 (1H, m, H-2), 3.60 (1H, m, H-3), 0.98 (3H, d, J = 7.0 Hz, H-23), 1.21 (3H, s, H-28), 1.09 (3H, s, H-26), 0.96, 0.96, 0.93, 0.90, 0.87 (各 3H, s, -CH₃); ¹³C-NMR (100 MHz, C₅D₅N) δ : 24.1 (C-1), 71.8 (C-2), 77.0 (C-3), 43.8 (C-4), 38.0 (C-5), 41.7 (C-6), 18.7 (C-7), 54.0 (C-8), 37.2 (C-9), 52.7 (C-10), 36.1 (C-11), 30.5 (C-12), 40.1 (C-13), 38.8 (C-14), 32.7 (C-15), 36.1 (C-16), 30.3 (C-17), 43.2 (C-18), 35.7 (C-19), 28.7 (C-20), 33.4 (C-21), 39.0 (C-22), 11.5 (C-23), 16.1 (C-24), 18.0 (C-25), 18.8 (C-26), 20.5 (C-27), 32.6 (C-28), 35.4 (C-29), 32.4 (C-30)。以上光谱数据与文献报道基本一致^[25], 故鉴定化合物 2 为 pachysandiol A。

化合物 3: 白色无定形粉末。ESI-MS m/z : 479 [M+Na]⁺; ¹H-NMR (400 MHz, C₅D₅N) δ : 4.36 (1H, d, J = 11.6 Hz, H-27a), 4.30 (1H, d, J = 11.6 Hz, H-27b), 2.73 (1H, d, J = 12.0 Hz, H-11a), 2.20 (1H, d, J = 12.0 Hz, H-11b), 2.10 (1H, q, J = 6.8 Hz, H-4), 0.94 (3H, d, J = 6.8 Hz, H-23), 1.41, 1.35, 1.07, 0.95, 0.89, 0.66 (各 3H, s, -CH₃); ¹³C-NMR (100 MHz, C₅D₅N) δ : 22.3 (C-1), 41.0 (C-2), 211.2 (C-3), 57.6 (C-4), 41.9 (C-5), 40.6 (C-6), 18.6 (C-7), 53.8 (C-8), 43.4 (C-9), 59.0 (C-10), 55.8 (C-11), 211.0 (C-12), 61.9 (C-13), 43.4 (C-14), 32.8 (C-15), 36.8 (C-16), 30.1 (C-17), 37.3 (C-18), 35.9 (C-19), 28.4 (C-20), 33.0 (C-21), 40.1 (C-22), 7.0 (C-23), 14.3 (C-24), 18.0 (C-25), 22.0 (C-26), 62.2 (C-27), 30.6 (C-28), 35.3 (C-29), 31.6 (C-30)。上述光谱数据与文献报道一致^[26], 鉴定化合物 3 为 pristimeronol。

化合物 4: 白色无定形粉末。ESI-MS m/z : 495 [M+Na]⁺; ESI-MS m/z : 471 [M-H]⁻。¹H-NMR (400

MHz, C₅D₅N) δ : 3.93 (1H, d, J = 10.4 Hz, H-28a), 3.89 (1H, d, J = 10.4 Hz, H-28b), 2.12 (1H, q, J = 6.8 Hz, H-4), 0.93 (3H, d, J = 6.7 Hz, H-23), 1.43 (3H, s, H-30), 1.42 (3H, s, H-27), 1.04 (3H, s, H-26), 0.79 (3H, s, H-25), 0.65 (3H, s, H-24); ¹³C-NMR (100 MHz, C₅D₅N) δ : 22.3 (C-1), 42.0 (C-2), 212.3 (C-3), 58.3 (C-4), 41.4 (C-5), 41.6 (C-6), 18.9 (C-7), 50.9 (C-8), 38.0 (C-9), 59.7 (C-10), 35.9 (C-11), 30.2 (C-12), 40.0 (C-13), 39.9 (C-14), 29.5 (C-15), 31.8 (C-16), 36.2 (C-17), 40.7 (C-18), 30.7 (C-19), 41.2 (C-20), 31.5 (C-21), 32.6 (C-22), 7.8 (C-23), 15.1 (C-24), 19.0 (C-25), 16.2 (C-26), 19.1 (C-27), 69.8 (C-28), 181.6 (C-29), 33.5 (C-30)。上述光谱数据与文献报道一致^[27], 鉴定化合物 4 为 28-hydroxyfriedelan-3-one-29-oic acid。

化合物 5: 黄色无定形粉末。ESI-MS m/z : 431 [M-H]⁻。¹H-NMR (400 MHz, CD₃OD) δ : 7.25 (2H, d, J = 8.2 Hz, H-2', 6'), 6.74 (2H, d, J = 8.2 Hz, H-3', 5'), 6.37 (1H, d, J = 2.0 Hz, H-8), 5.85 (1H, d, J = 2.0 Hz, H-6), 5.38 (1H, brs, rha-H-1"); 0.93 (3H, d, J = 6.0 Hz, rha-H-6"); ¹³C-NMR (100 MHz, CD₃OD) δ : 147.5 (C-2), 136.2 (C-3), 178.6 (C-4), 161.2 (C-5), 99.8 (C-6), 162.1 (C-7), 94.8 (C-8), 158.5 (C-9), 105.9 (C-10), 122.6 (C-1'), 131.9 (C-1', 6'), 116.5 (C-3', 5'), 159.3 (C-4'), 101.6 (C-1"), 71.0 (C-2"), 71.8 (C-3"), 72.1 (C-4"), 70.9 (C-5"), 17.6 (C-6")。上述光谱数据与文献报道基本一致^[28], 鉴定化合物 5 为山柰酚-3-O- α -L-鼠李糖昔。

化合物 6: 黄色无定形粉末。ESI-MS m/z : 271 [M+Na]⁺。¹H-NMR (400 MHz, CD₃OD) δ : 7.53 (1H, m, H-2), 7.32 (1H, s, H-5), 7.30 (1H, s, H-8), 6.81 (1H, d, J = 5.8 Hz, H-3), 3.87 (3H, s, 6-OCH₃), 3.86 (3H, s, 7-OCH₃); ¹³C-NMR (100 MHz, CD₃OD) δ : 142.1 (C-1), 125.7 (C-2), 116.2 (C-3), 153.1 (C-4), 123.5 (C-4a), 108.7 (C-5), 149.3 (C-6), 149.1 (C-7), 114.2 (C-8), 122.5 (C-8a), 170.5 (COOH), 57.2 (6-OCH₃), 56.8 (7-OCH₃)。上述光谱数据与文献报道一致^[29], 鉴定化合物 6 为 6,7-dimethoxy-4-hydroxyl-1-naphthoic acid。

化合物 7: 淡黄色无定形粉末。ESI-MS m/z : 223 [M-H]⁻。¹H-NMR (400 MHz, CD₃OD) δ : 5.83 (1H, s, H-8), 4.21 (1H, m, H-3), 2.19 (3H, s, H-10), 1.36 (3H, s, H-13), 1.34 (3H, s, H-12), 1.15 (3H, s, H-11);

¹³C-NMR (100 MHz, CD₃OD) δ: 37.1 (C-1), 49.9 (C-2), 64.5 (C-3), 49.7 (C-4), 72.5 (C-5), 119.8 (C-6), 211.6 (C-7), 101.0 (C-8), 201.0 (C-9), 26.5 (C-10), 29.4 (C-11), 32.5 (C-12), 30.7 (C-13)。上述光谱数据与文献报道基本一致^[30], 故鉴定化合物 7 为蚱蜢酮。

化合物 8: 淡黄色无定形粉末。ESI-MS *m/z*: 249 [M+Na]⁺。¹H-NMR (400 MHz, CDCl₃) δ: 7.26 (2H, s, H-2, 6), 3.91 (9H, s, 3×-OCH₃), 3.49 (3H, s, COOCH₃); ¹³C-NMR (100 MHz, CDCl₃) δ: 125.3 (C-1), 107.0 (C-2), 153.1 (C-3), 142.4 (C-4), 153.1 (C-5), 107.0 (C-6), 166.9 (C-7), 52.4 (-COOCH₃), 56.4 (3, 5-OCH₃), 61.1 (4-OCH₃)。上述光谱数据与文献报道相一致^[31], 故鉴定化合物 8 为 3,4,5-三甲氧基苯甲酸甲酯。

参考文献

- [1] 中国科学院中国植物志编辑委员会. 中国植物志 [M]. 北京: 科学出版社, 1981.
- [2] Tezuka Y, Kikuchi T, Dhanabalasingham B, et al. Salacenonal: A novel nortriterpenoid aldehyde of biogenetic significance from *Salacia reticulata* [J]. *Nat Prod Lett*, 1993, 3(4): 273-276.
- [3] Setzer W N, Holland M T, Bozeman C A, et al. Isolation and frontier molecular orbital investigation of bioactive quinone-methide triterpenoids from the bark of *Salacia petenensis* [J]. *Planta Med*, 2001, 67(1): 65-69.
- [4] Duarte L P, Figueiredo R C, Sousa G F, et al. Chemical constituents of *Salacia elliptica* (Celastraceae) [J]. *Quim Nova*, 2010, 33(4): 900-903.
- [5] Agius B R, Vogler B, Stokes S L, et al. Inhibition of cruzain by triterpenoids isolated from a *Salacia* species from Monteverde, Costa Rica [J]. *Nat Prod Commun*, 2007, 2(11): 1083-1084.
- [6] Gunatilaka A A L, Dhanabalasingham B, Karunaratne V, et al. Structure of a D: A-friedo-oleanane triterpenoid from *Salacia reticulata* and revision of the structures of kokoonol and kokzeylanol series of triterpenoids [J]. *Tetrahedron*, 1993, 49(45): 10397-10404.
- [7] 濮江, 冯锋, 郭青龙, 等. 阔叶五层龙的化学成分研究 [J]. 中国现代应用药学, 2009, 26(11): 916-918.
- [8] 郭正红, 袭荣刚, 王晓波, 等. 海南五层龙中一个新的甘遂烷型三萜化合物 [J]. 药学学报, 2009, 44(10): 1123-1126.
- [9] Zhang Y, Nakamura S, Wang T, et al. The absolute stereostructures of three rare D: B-friedobaccharane skeleton triterpenes from the leaves of *Salacia chinensis* [J]. *Tetrahedron*, 2008, 64(30/31): 7347-7352.
- [10] Gao H Y, Guo Z H, Cheng P, et al. New triterpenes from *Salacia hainanensis* Chun et How with α-glucosidase inhibitory activity [J]. *J Asian Nat Prod Res*, 2010, 12(10): 834-842.
- [11] Kishi A, Morikawa T, Matsuda H, et al. Structures of new friedelane-and norfriedelane-type triterpenes and polyacylated eudesmane-type sesquiterpene from *Salacia chinensis* LINN. (*S. prinoides* DC., Hippocrateaceae) and radical scavenging activities of principal constituents [J]. *Chem Pharm Bull*, 2003, 51(9): 1051-1055.
- [12] Hisham A, Kumar G J, Fujimoto Y, et al. Salacianone and salacianol, two triterpenes from *Salacia beddomei* [J]. *Phytochemistry*, 1995, 40(4): 1227-1231.
- [13] Subhadhirasakul S, Keawpradub N, Promwong C, et al. Free radical scavenging and cytoprotective activity of *Salacia euphlebia* Merr [J]. *Nat Prod Commun*, 2008, 3(2): 211-214.
- [14] Morikawa T, Kishi A, Pongpiriyadacha Y, et al. Structures of new friedelane-type triterpenes and eudesmane-type sesquiterpene and aldose reductase inhibitors from *Salacia chinensis* [J]. *J Nat Prod*, 2003, 66(9): 1191-1196.
- [15] Dhanabalasingham B, Karunaratne V, Tezuka Y, et al. Biogenetically important quinonemethides and other triterpenoid constituents of *Salacia reticulata* [J]. *Phytochemistry*, 1996, 42(5): 1377-1385.
- [16] Hisham A, Jayakumar G, Fujimoto Y, et al. 1β,15α-Dihydroxyfriedelan-3-one, a triterpene from *Salacia beddomei* [J]. *Phytochemistry*, 1996, 43(4): 843-845.
- [17] Kumar V, Wijeratne D B T, Abeygunawardena C, et al. 21α,30-dihydroxy-D: A-friedooleanan-3-one from *Salacia reticulata* var. *β-Diandra* stem bark [J]. *Phytochemistry*, 1990, 29(1): 333-335.
- [18] Matsuda H, Murakami T, Yashiro K, et al. Antidiabetic principles of natural medicines. Part 4. Aldose reductase and α-glucosidase inhibitors from the roots of *Salacia oblonga* Wall. (Celastraceae): Structure of A new friedelane-type triterpene, kotalagenin 16 acetate [J]. *Chem Pharm Bull*, 1999, 47(12): 1725-1729.
- [19] Zhang Y, Nakamura S, Pongpiriyadacha Y, et al. Absolute structures of new megastigmane glycosides, foliasalaciosides E1, E2, E3, F, G, H, and I from the leaves of *Salacia chinensis* [J]. *Chem Pharm Bull*, 2008, 56(4): 547-553.
- [20] Nakamura S, Zhang Y, Wang T, et al. New phenolic glycosides from the leaves of *Salacia chinensis* [J]. *Heterocycles*, 2008, 75(6): 1435-1446.
- [21] Yoshikawa M, Xu F M, Nakamura S, et al. Salaprinol and ponkoranol with thiosugar sulfonium sulfate structure

- from *Salacia prinoides* and α -glucosidase inhibitory activity of ponkoranol and kotalanol desulfate [J]. *Heterocycles*, 2008, 75(6): 1397-1405.
- [22] 张隽荣, 尤慧梅, 井宇星, 等. 柳叶五层龙正丁醇提取部分中的 3 个新酚性成分及其 α -葡萄糖苷酶抑制活性 [J]. 高等学校化学学报, 2019, 40(3): 456-461.
- [23] Ngassapa O, Soejarto D D, Pezzuto J M, et al. Quinone-methide triterpenes and salaspermic acid from *Kokoona ochracea* [J]. *J Nat Prod*, 1994, 57(1): 1-8.
- [24] 毛士龙, 桑圣民, 劳爱娜, 等. 薄型卫矛中三萜成分研究 [J]. 中草药, 2000, 31(10): 729-730.
- [25] Moiteiro C, Justino F, Tavares R, et al. Synthetic secofriedelane and friedelane derivatives as inhibitors of human lymphocyte proliferation and growth of human cancer cell lines *in vitro* [J]. *J Nat Prod*, 2001, 64(10): 1273-1277.
- [26] Rao R B, Sukumar E, Kundo A B, et al. A triterpenoid from *Pristimera grahamii* [J]. *Phytochemistry*, 1990, 29(6): 2027-2029.
- [27] Sun C R, Hu H J, Xu R S, et al. A new friedelane type triterpene from *Euonymus hederaceus* [J]. *Molecules*, 2009, 14(7): 2650-2655.
- [28] Yang H, Gu Q Y, Xu Y, et al. Comparative study on two antioxidant flavanol-3-O- α -Lrhamnosides in the leaves of *Toona sinensis* (Chinese Toon) from different production sites by HPLC-UV [J]. *J Liq Chromatogr Relat Technol*, 2015, 38(6): 687-691.
- [29] Zhang Y W, Sun W X, Li X, et al. Two new compounds from *Helichrysum arenarium* (L.) [J]. *J Asian Nat Prod Res*, 2009, 11(4): 289-293.
- [30] Kuang H, Yang B, Xia Y, et al. Chemical constituents from the flower of *Datura metel* L [J]. *Arch Pharm Res*, 2008, 31(9): 1094-1097.
- [31] 魏振桥, 沈子东, 杜庆瑶, 等. 红波罗花的化学成分研究 [J]. 中草药, 2015, 46(9): 1277-1282.